

# การปรับปรุงประสิทธิภาพการเดินเครื่องโรงไฟฟ้าแฟดแบนบโคเจเนอเรชันในช่วงเวลาอฟพีค

## The Operation Efficiency Improvement of Twin Cogeneration Power Plant During Off Peak Period

ธนากร พิมพ์สิน<sup>1)</sup> วรณี มังคละศิริ<sup>1)\*</sup> และ จิตติ มังคละศิริ<sup>2)</sup>

Tanakorn Pimsin<sup>1)</sup> Woranee Mungkalasiri<sup>1)\*</sup> and Jitti Mungkalasiri<sup>2)</sup>

<sup>1)</sup>ภาควิชาวิศวกรรมเคมี คณะวิศวกรรมศาสตร์ มหาวิทยาลัยธรรมศาสตร์ จังหวัดปทุมธานี 12120

<sup>2)</sup>ศูนย์เทคโนโลยีโลหะและวัสดุแห่งชาติ สำนักงานพัฒนาวิทยาศาสตร์และเทคโนโลยีแห่งชาติ จังหวัดปทุมธานี 12120

### บทคัดย่อ

งานวิจัยนี้มีวัตถุประสงค์เพื่อประเมินผลของประสิทธิภาพการผลิตพลังงานไฟฟ้าและไอน้ำในช่วงเวลาอฟพีคโดยทำการศึกษาปรับปรุงรูปแบบการเดินเครื่องของโรงไฟฟ้าแฟด (โรงที่ 1 และโรงที่ 2) ด้วยรูปแบบต่างๆ 4 รูปแบบ โดยเก็บข้อมูลที่เก็บข้อมูลที่เป็นปัจจัยที่มีผลต่อการปรับปรุงประสิทธิภาพโรงไฟฟ้า เช่น ปริมาณการใช้พลังงานความร้อนจากเชื้อเพลิงก๊าซธรรมชาติ และพลังงานไฟฟ้าที่ส่งให้การไฟฟ้าผ่ายผลิตแห่งประเทศไทยและโรงงานอุตสาหกรรม โดยรวบรวมข้อมูลเป็นรายชั่วโมง ตั้งแต่วันที่ 1 กรกฎาคม พ.ศ.2560 ถึง 31 ธันวาคม พ.ศ. 2560 ผลการศึกษาวิจัยพบว่ารูปแบบการเดินเครื่องที่ให้ประสิทธิภาพโรงไฟฟ้าในการผลิตพลังงานไฟฟ้าและไอน้ำสูงสุด คือ รูปแบบที่ 4 ซึ่งเดินเครื่องด้วยกังหันก๊าซ 3 เครื่อง และกังหันไอน้ำ 2 เครื่อง มีการเชื่อมต่อไฟฟ้าและไอน้ำระหว่างโรงไฟฟ้าแฟดแบบบโคเจเนอเรชัน โดยมีประสิทธิภาพโรงไฟฟ้าของโรงที่ 1 และโรงที่ 2 เท่ากับร้อยละ 50.48 และ 46.33 ตามลำดับ ซึ่งมีค่ามากกว่าการเดินเครื่องด้วยรูปแบบทั่วไป (รูปแบบที่ 1) nokokan นึ่งเมื่อพิจารณาค่ารายได้สุทธิเฉลี่ยจากการดำเนินงานในแต่ละรูปแบบ ยังพบว่าการเดินเครื่องด้วยรูปแบบที่ 4 จะทำให้มีรายได้สุทธิเฉลี่ยรวมต่อวันสูงสุด ดังนั้นการเดินเครื่องด้วยรูปแบบที่ 4 จึงเหมาะสมที่สุดที่จะนำมาดำเนินงานเป็นการเดินเครื่องรูปแบบหลักของโรงไฟฟ้าแฟดแบบบโคเจเนอเรชันในช่วงเวลาอฟพีค

**คำสำคัญ:** บโคเจเนอเรชัน ประสิทธิภาพโรงไฟฟ้า พาร์ท荷ลด โรงไฟฟ้าแฟด ออฟพีค

### Abstract

The purpose of this research was to evaluate the efficiency of the production of electricity and steam during the off peak period of the twin cogeneration power plant (1<sup>st</sup> and 2<sup>nd</sup> power plants). The 4 operation patterns were studied while relevant factors on the efficiency improvement were collected hourly from 1 July 2017 to 31 December 2017 such as the consumption of thermal energy from natural gas and the electric power delivered to Electricity Generating Authority of Thailand and industrial plants. The results found that the best efficiency of power plant for electricity and steam generation was the fourth operation pattern which was operated by 3 gas turbines and 2 steam turbines with electrical and steam connection between the twin cogeneration power plants. The efficiency of the 1<sup>st</sup> and 2<sup>nd</sup> power plants was 50.48% and 46.33% respectively; and it would be higher than the conventional operation pattern (the first operation pattern). Moreover, after average net income from the operation was considered, the fourth operation pattern gain the highest (average) income per day. Therefore, the fourth operation pattern was the most suitable to operate the twin cogeneration power plants during off peak period.

**Keywords:** Cogeneration, Power plant efficiency, Part load, Twin power plants, Off peak

## 1. บทนำ

ประเทศไทยมีความต้องการใช้พลังงานไฟฟ้าเพิ่มมากขึ้น ในทุกๆ ปี [1-2] โดยข้อมูลกำลังการผลิตไฟฟ้าในระบบของการไฟฟ้าฝ่ายผลิตแห่งประเทศไทย ณ เดือนมิถุนายน 2560 มีค่าเท่ากับ 41,723.25 เมกะวัตต์ [3-5] ซึ่งแบ่งเป็นกำลังผลิตติดตั้งของ การไฟฟ้าฝ่ายผลิตแห่งประเทศไทยเท่ากับ 16,071.13 เมกะวัตต์ คิดเป็นร้อยละ 38.77 และกำลังผลิตจากแหล่งอื่นเท่ากับ 25,652.12 เมกะวัตต์ คิดเป็นร้อยละ 61.48 โดยสามารถจำแนกกำลังผลิตไฟฟ้าจากผู้ผลิตและสัดส่วนของก๊าซธรรมชาติที่นำมาเป็นเชื้อเพลิงหลักได้ ดังแสดงในตารางที่ 1

ตารางที่ 1 กำลังผลิตไฟฟ้าจากผู้ผลิตพลังงานไฟฟ้าและสัดส่วนของก๊าซธรรมชาติที่นำมาเป็นเชื้อเพลิงหลัก [2]

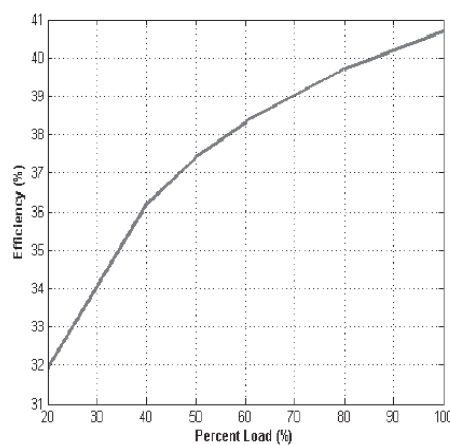
ผู้ผลิต	กำลังการผลิต ติดตั้ง (เมกะวัตต์)	กำลังการผลิต จากเชื้อเพลิง ก๊าซธรรมชาติ (เมกะวัตต์)	กำลังการผลิต จากเชื้อเพลิง ก๊าซธรรมชาติ (ร้อยละ)
การไฟฟ้าฝ่ายผลิตแห่งประเทศไทย (กฟผ.)	16,071.13	8,896.00	21.32
ผู้ผลิตจากต่างประเทศ	3,877.60	0	0
ผู้ผลิตพลังงานไฟฟ้าเอกชนรายใหญ่ (IPP)	14,948.50	12,941.49	31.01
ผู้ผลิตพลังงานไฟฟ้าเอกชนรายเล็ก (SPP)	6,826.02	5,071.42	12.15
รวม	41,723.25	26,908.91	64.48

จะเห็นได้ว่า กำลังผลิตไฟฟ้าจากผู้ผลิตไฟฟ้าที่ใช้ก๊าซธรรมชาติมาเป็นเชื้อเพลิงหลักทั้งหมดนั้นสูงถึง 26,908.91 เมกะวัตต์ คิดเป็นร้อยละ 64.48 ของกำลังผลิตทั้งหมดในระบบของการไฟฟ้าฝ่ายผลิตแห่งประเทศไทย จึงทำให้ทางผู้ผลิตเอกชนรายเล็ก (SPP) และผู้ผลิตเอกชนรายใหญ่ (IPP) เลือกหันถึงความสำคัญของการจัดการพลังงานอย่างมีประสิทธิภาพ [6-7]

จากแผนการเดินเครื่องในการผลิตพลังงานไฟฟ้าของ โรงไฟฟ้าผู้ผลิตเอกชนรายเล็กเข้าระบบการไฟฟ้าฝ่ายผลิตแห่งประเทศไทยในแต่ละวันจะแบ่งเวลาออกเป็น 2 ช่วงเวลา คือ ช่วงเวลาพีค (Peak) และช่วงเวลาอฟพีค (Off peak) [8] ซึ่งในช่วงเวลาอฟพีคการไฟฟ้าฝ่ายผลิตแห่งประเทศไทย จะรับซื้อพลังงานไฟฟ้าเพียง 59 เมกะวัตต์ จากปกติช่วงเวลาพีคจะรับซื้อพลังงาน

ไฟฟ้าเท่ากับ 90 เมกะวัตต์ ส่งผลให้โรงไฟฟ้าผู้ผลิตเอกชนรายเล็ก มีประสิทธิภาพโรงไฟฟ้าต่ำ เนื่องมาจากการเดินเครื่องกังหันก๊าซ (Gas turbine, GT) แบบพาร์ท荷 load ดังแสดงในภาพที่ 1 โดยการเดินเครื่องในรูปแบบปกติทั่วไป (รูปแบบที่ 1) ซึ่งจะเดินเครื่องด้วยกังหันก๊าซ 4 เครื่อง และกังหันไอน้ำ 2 เครื่อง โดยที่ไม่มีการเชื่อมต่อไฟฟ้าและไอน้ำระหว่างโรงไฟฟ้าและไอน้ำในระบบไฟฟ้าแบบโคลเกเนอเรชัน

จากการศึกษาของ Cem Tahsin Yucer [9] ซึ่งทำการวิเคราะห์ถึงค่าประสิทธิภาพเครื่องยนต์กังหันก๊าซขนาดเล็กจาก การทดลองลักษณะการเดินเครื่องด้วยรูปแบบต่างๆ ได้แก่ การเดินเครื่องแบบ idle speed, การเดินเครื่องแบบพาร์ท荷 load โดยใช้กังหันก๊าซ 1 เครื่อง, การเดินเครื่องแบบพาร์ท荷 load โดยใช้กังหันก๊าซ 2 เครื่อง และการเดินเครื่องแบบฟูล荷 load โดยใช้กังหันก๊าซ 2 เครื่อง ซึ่งผลการวิจัยพบว่า การเดินเครื่องกังหันก๊าซเข้าใกล้ฟูล荷 load มากขึ้น จะส่งผลให้ประสิทธิภาพของเครื่องยนต์สูงขึ้น



ภาพที่ 1 ประสิทธิภาพการผลิตพลังงานไฟฟ้า (Efficiency, %) ของกังหันก๊าซเบริ่งเทียบกับพลังงานไฟฟ้าที่ผลิตได้ (Percent load, %) [6]

ด้วยเหตุนี้จึงทำการศึกษาปรับปรุงรูปแบบการเดินเครื่องของโรงไฟฟ้าแบบโคลเกเนอเรชันในการผลิตพลังงานไฟฟ้าและไอน้ำ เพื่อหารูปแบบการเดินเครื่องที่เหมาะสมในช่วงเวลาอฟพีคที่จะเพิ่มประสิทธิภาพโรงไฟฟ้าให้สูงมากขึ้น ซึ่งโรงไฟฟ้าที่ศึกษานี้จะเป็นโรงไฟฟ้าแฟด ที่สามารถเชื่อมต่อไฟฟ้าและไอน้ำที่ผลิตได้เข้าด้วยกัน เพื่อลดต้นทุนในการก่อสร้าง และเพิ่มกำลังการผลิตและการจัดการพลังงานไฟฟ้าให้เพียงพอต่อความต้องการพลังงานไฟฟ้าของโรงงานอุตสาหกรรม โดยการศึกษานี้มีวัตถุประสงค์เพื่อประเมินผลกระทบของประสิทธิภาพโรงไฟฟ้าสูงสุดในช่วงเวลาอฟพีคจากการเดินเครื่อง 4 รูปแบบ โดยปรับปรุงรูปแบบการเดินเครื่องในรูปแบบต่างๆ ได้แก่

รูปแบบที่ 1 : เดินเครื่องด้วยกังหันก๊าซ 4 เครื่อง และกังหันไอน้ำ 2 เครื่อง โดยที่ไม่มีการเชื่อมต่อไฟฟ้าและไอน้ำระหว่าง

โรงไฟฟ้าแฟดแบบโโคเจเนอเรชัน (การเดินเครื่องรูปแบบปกติทั่วไป ดังแสดงในภาพที่ 2)

รูปแบบที่ 2 : เดินเครื่องด้วยกังหันก๊าซ 4 เครื่อง และกังหันไอน้ำ 2 เครื่อง โดยที่มีการเชื่อมต่อไอน้ำระหว่างโรงไฟฟ้าแฟดแบบโโคเจเนอเรชัน

รูปแบบที่ 3 : เดินเครื่องด้วยกังหันก๊าซ 3 เครื่อง และกังหันไอน้ำ 2 เครื่อง โดยที่มีการเชื่อมต่อไฟฟ้าระหว่างโรงไฟฟ้าแฟดแบบโโคเจเนอเรชัน และ

รูปแบบที่ 4 : เดินเครื่องด้วยกังหันก๊าซ 3 เครื่อง และกังหันไอน้ำ 2 เครื่อง โดยที่มีการเชื่อมต่อไฟฟ้าและไอน้ำระหว่างโรงไฟฟ้าแฟดแบบโโคเจเนอเรชัน

ซึ่งดำเนินการศึกษาโดยใช้โรงไฟฟ้าโโคเจเนอเรชัน (Cogeneration) ที่เป็นโรงไฟฟ้าแฟด (Twin power plants) ที่กำลังการผลิตพลังงานไฟฟ้ารวม 286 เมกะวัตต์ และกำลังการผลิตไอน้ำ รวม 30 ตันต่อชั่วโมง เป็นสถานที่ดำเนินงานวิจัย ทำการเก็บบันทึกข้อมูลเป็นค่าเฉลี่ยรายวันในช่วงเวลาอฟพิก (Off peak) ของการไฟฟ้าฝ่ายผลิตแห่งประเทศไทยตั้งแต่วันที่ 1 กรกฎาคม พ.ศ. 2560 ถึง 31 ธันวาคม พ.ศ. 2560 โดยมีข้อกำหนดของการดำเนินงาน ดังแสดงในตารางที่ 2

ตารางที่ 2 ข้อกำหนดของโรงไฟฟ้าแฟด (ที่ใช้ศึกษาวิจัยในครั้งนี้)  
ในการจำหน่ายพลังงานไฟฟ้าและพลังงานความร้อนจากไอน้ำ

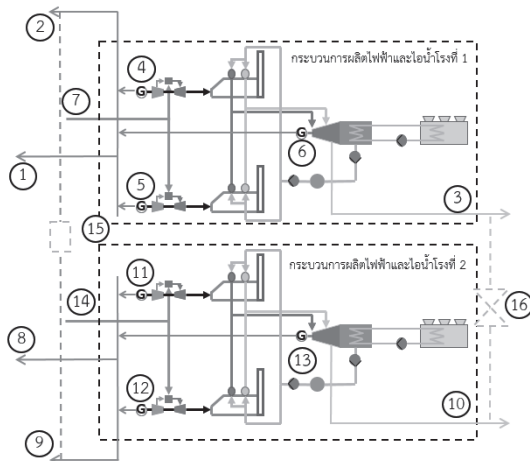
ชื่อ	กฟผ. (MW <sub>o</sub> )	IU electricity (MW <sub>o</sub> )	IU steam (MW <sub>th</sub> )
โรงที่ 1	59.00	30.00	15.50
โรงที่ 2	59.00	20.00	14.50

## 2. วิธีการวิจัยและทฤษฎีที่เกี่ยวข้อง

### 2.1 วิธีการวิจัย

โรงไฟฟ้าแฟดแบบโโคเจเนอเรชันที่ใช้ในการศึกษาวิจัยนี้ จะเป็นโรงไฟฟ้าพลังงานความร้อนร่วม (Combined cycle power plant) โดยกระบวนการผลิตพลังงานไฟฟ้าและไอน้ำของโรงไฟฟ้าแฟด (โรงที่ 1 และโรงที่ 2) นี้ ประกอบไปด้วยกังหันก๊าซจำนวน 4 เครื่อง ได้แก่ กังหันก๊าซ GT11 (โรงที่ 1) กังหันก๊าซ GT12 (โรงที่ 1) กังหันก๊าซ GT21 (โรงที่ 2) กังหันก๊าซ GT22 (โรงที่ 2) และกังหันไอน้ำจำนวน 2 เครื่อง ได้แก่ กังหันไอน้ำ ST10 (โรงที่ 1) และกังหันไอน้ำ ST20 (โรงที่ 2) ซึ่งมีกระบวนการผลิตพลังงาน

ไฟฟ้าและไอน้ำดังแสดงในภาพที่ 2 รายละเอียดหมายเลขอในแผนผังสามารถแสดงดังตารางที่ 3 ซึ่งพลังงานไฟฟ้าหลักจะจำหน่ายให้กับการไฟฟ้าฝ่ายผลิตแห่งประเทศไทย (กฟผ.) และพลังงานไฟฟ้าอีกส่วนหนึ่งกับไอน้ำจะจำหน่ายให้กับโรงงานอุตสาหกรรม ใกล้เคียง โดยภายในโรงไฟฟ้าแฟดแบบโโคเจเนอเรชันนี้ โรงที่ 1 และโรงที่ 2 สามารถเชื่อมต่อไฟฟ้าและไอน้ำที่จะส่งให้ลูกค้าโรงงานอุตสาหกรรมเข้าหากันได้โดยผ่านอุปกรณ์ตัดการเชื่อมต่อระบบ (เบรกเกอร์และวาล์ว) เพื่อสามารถจ่ายพลังงานไฟฟ้าและไอน้ำทดแทนกันได้



ภาพที่ 2 แผนผังกระบวนการผลิตพลังงานไฟฟ้าและไอน้ำของโรงไฟฟ้าแฟดแบบโโคเจเนอเรชัน

ในการศึกษาวิจัยนี้จะทำการเก็บบันทึกข้อมูลตัวแปรต่างๆ ของโรงไฟฟ้า ซึ่งประกอบไปด้วยพลังงานไฟฟ้าที่ส่งให้การไฟฟ้าฝ่ายผลิตแห่งประเทศไทย (กฟผ.) พลังงานไฟฟ้าที่ส่งให้โรงงานอุตสาหกรรม (IU electricity) พลังงานความร้อนจากไอน้ำที่ส่งให้โรงงานอุตสาหกรรม (IU steam) พลังงานไฟฟ้าที่ผลิตได้จากกระบวนการผลิตพลังงานไฟฟ้าและไอน้ำ ของกังหันก๊าซ GT11 กังหันก๊าซ GT12 และกังหันไอน้ำ ST10 กังหันก๊าซ GT21 กังหันก๊าซ GT22 และกังหันไอน้ำ ST20 และข้อมูลปริมาณการใช้เชื้อเพลิงก๊าซธรรมชาติ (Gas consumption) โดยข้อมูลเหล่านี้จะรวบรวมมาจากการโปรแกรม Plant Information (PI) ซึ่งเป็นโปรแกรมที่ใช้ตรวจสอบการทำงานของโรงไฟฟ้าและเก็บบันทึกข้อมูลในรายชั่วโมง จากนั้นจะนำข้อมูลต่างๆ เหล่านี้มาคำนวณและวิเคราะห์หาประสิทธิภาพโรงไฟฟ้า ตามสมการที่ (1) และ (2) ซึ่งงานวิจัยนี้ มีขั้นตอนการดำเนินงานดังแสดงในภาพที่ 3

### ตารางที่ 3 รายละเอียดแผนผังกระบวนการผลิตพลังงานไฟฟ้าและไอน้ำของโรงไฟฟ้าแฟลเดแบบโโคเจเนอเรชัน

ลำดับ	คำอธิบาย	ลำดับ	คำอธิบาย
1	การไฟฟ้าฝ่ายผลิตแห่งประเทศไทย (กฟผ.) 59.00 MW	9	พัลส์งานไฟฟ้าโรงงานอุดสาหกรรม (IU electricity) 36.80 MW
2	พัลส์งานไฟฟ้าโรงงานอุดสาหกรรม (IU steam) 36.80 MW	10	พัลส์งานความร้อนจากไอน้ำโรงงานอุดสาหกรรม (IU steam) 36.00 MW
3	พัลส์งานความร้อนจากไอน้ำโรงงานอุดสาหกรรม (IU steam) 36.00 MW	11	กังหันก๊าซ GT21 51.50 MW
4	กังหันก๊าซ GT11 51.50 MW	12	กังหันก๊าซ GT22 51.50 MW
5	กังหันก๊าซ GT12 51.50 MW	13	กังหันไอน้ำ ST20 40.00 MW
6	กังหันไอน้ำ ST10 40.00 MW	14	พัลส์งานความร้อนจากเชื้อเพลิงก๊าซธรรมชาติ (Gas consumption)
7	พัลส์งานความร้อนจากเชื้อเพลิงก๊าซธรรมชาติ (Gas consumption)	15	เมรคเกอร์เชื่อมต่อไฟฟ้าระหว่างโรงที่ 1 และ 2
8	การไฟฟ้าฝ่ายผลิตแห่งประเทศไทย (กฟผ.) 59.00 MW	16	ว่าส่วนเชื่อมต่อไอน้ำระหว่างโรงที่ 1 และ 2



ภาพที่ 3 แสดงขั้นตอนการดำเนินงานวิจัย

#### 2.2 ทฤษฎีที่เกี่ยวข้อง

การหาอัตราการใช้พลังงานความร้อน (Heat rate) ของโรงไฟฟ้าพัลส์งานความร้อนร่วม (Combine cycle power plant) [10] ดังสมการที่ (1)

$$\text{Heat rate} = \frac{\text{Input energy (BTU/hr)}}{\text{Output Power (kW)}} \quad (1)$$

โดยที่ Input energy = พัลส์งานความร้อนจากเชื้อเพลิงที่ให้กับระบบการผลิตพลังงานไฟฟ้าและไอน้ำมีหน่วยเป็นบีที่ยูต่อชั่วโมง (BTU/hr)

Output Power = กำลังไฟฟ้าที่ผลิตได้จากการผลิตพลังงานไฟฟ้าและไอน้ำมีหน่วยเป็นกิโลวัตต์ (kW)

การหาประสิทธิภาพการผลิตพลังงานไฟฟ้าของโรงไฟฟ้าความร้อนร่วม (Power plant efficiency) [10] สามารถคำนวณได้ดังสมการที่ (2)

$$\text{Efficiency} = \frac{1 \text{ kW}}{\text{Heat rate (BTU/kWh หรือ kJ/kWh)}} \quad (2)$$

$$\text{โดยที่ } 1 \text{ kW} = 3414.42595 \text{ BTU/hr}$$

$$1 \text{ kW} = 3600 \text{ kJ/hr}$$

การประเมินรายได้ของการปรับปรุงรูปแบบการเดินเครื่องโรงไฟฟ้าแฟลเดแบบโโคเจเนอเรชันเมื่อพิจารณาถึงประสิทธิภาพโรงไฟฟ้า (Power plant efficiency) ที่เปลี่ยนแปลง ส่งผลให้ทราบถึงอัตราการใช้พลังงานความร้อนจากเชื้อเพลิง (Heat rate) หลังปรับปรุงรูปแบบการเดินเครื่องโรงไฟฟ้าแฟลเดแบบโโคเจเนอเรชัน และสามารถประเมินรายได้เฉลี่ยต่อวันของการปรับปรุงรูปแบบการเดินเครื่องโรงไฟฟ้าแฟลเดแบบโโคเจเนอเรชัน โดยการเปรียบเทียบรายได้จากการดำเนินการไฟฟ้าและต้นทุนจากการใช้เชื้อเพลิงก๊าซธรรมชาติ (Gas consumption) ซึ่งสามารถคำนวณได้ดังสมการที่ (3)

$$\text{ต้นทุนก๊าซธรรมชาติ} = \frac{\text{ปริมาณความร้อนของก๊าซธรรมชาติ (mmBTU)}}{\text{ราคาก๊าซธรรมชาติ (Baht/mmBTU)}} \quad (3)$$

โดยที่ราคา ก๊าซธรรมชาติ (Baht/mmBTU) ข้างต้นมาจากบริษัท ปตท. จำกัด (มหาชน) เป็นค่าเฉลี่ยจากเดือนกรกฎาคม พ.ศ. 2560 ถึงเดือนธันวาคม พ.ศ. 2560 เท่ากับ 234.96 บาท โดยมีค่าเบี่ยงเบนมาตรฐาน (Standard deviation, S.D.) เท่ากับ 4.03 บาท หรือ ร้อยละ 1.715

รายได้จากการขายพลังงานไฟฟ้าต่อวันสามารถหาได้จากสมการที่ (4) เพื่อนำรายได้จากการขายพลังงานไฟฟ้าต่อวันมาหักลบกับต้นทุนเชื้อเพลิง ก๊าซธรรมชาติ และนำรายได้สุทธิของการเดินเครื่อง 4 รูปแบบมาเปรียบเทียบกันเพื่อหารูปแบบที่ได้รายได้สุทธิมากที่สุด ดังสมการที่ (5) ถึง (7)

$$\text{ค่าไฟฟ้าต่อวัน} = \text{พัลส์งานไฟฟ้า (kWh)} \times \text{ค่าไฟฟ้าต่อหน่วย (Baht/kWh)} \quad (4)$$

$$\text{รายได้สุทธิ โรงที่ 1} = \text{รายได้พัลส์งานไฟฟ้าต่อวัน (บาท)} - \text{ต้นทุนก๊าซธรรมชาติ (บาท)} \quad (5)$$

$$\text{รายได้สุทธิ โรงที่ 2} = \text{รายได้พัลส์งานไฟฟ้าต่อวัน (บาท)} - \text{ต้นทุนก๊าซธรรมชาติ (บาท)} \quad (6)$$

$$\text{รายได้สุทธิของโรงไฟฟ้าแฟลเด} = \text{รายได้สุทธิ โรงที่ 1 (บาท)} + \text{รายได้สุทธิ โรงที่ 2 (บาท)} \quad (7)$$

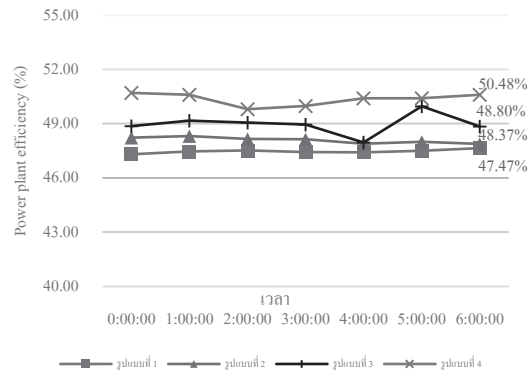
หมายเหตุ: ค่าพลังงานไฟฟ้าคำนวณจากพลังงานไฟฟ้าที่ได้จากเครื่องกำนัດไฟฟ้ารวมกับพลังงานความร้อนจากไอน้ำ (MW<sub>th</sub>) ที่เปลี่ยนเป็นค่าพลังงานไฟฟ้า (MW) โดยใช้ประสิทธิภาพของกังหันไอน้ำ ซึ่งเป็นเครื่องจักรที่สามารถเปลี่ยนพลังงานความร้อนเป็นพลังงานไฟฟ้า

### 3. ผลการวิจัยและอภิปราย

#### 3.1 โรงไฟฟ้าแฟดแบบโคลเจเนอเรชัน โรงที่ 1

จากการเก็บรวบรวมข้อมูลตัวแปรต่างๆ ของโรงไฟฟ้าแฟดโรงที่ 1 เมื่อนำมาคำนวณหาประสิทธิภาพโรงไฟฟ้าเป็นรายชั่วโมง ในช่วงเวลาอพีคันน์ สามารถแสดงผลได้ดังภาพที่ 4 โดยผลการศึกษาพบว่าการเดินเครื่องรูปแบบที่ 4 ที่เดินเครื่องด้วยกังหันก๊าซ 3 เครื่อง และกังหันไอน้ำ 2 เครื่อง โดยมีการเชื่อมต่อไฟฟ้าและไอน้ำระหว่างโรงไฟฟ้าแฟดแบบโคลเจเนอเรชัน จะทำให้ประสิทธิภาพโรงไฟฟ้าในการผลิตพลังงานไฟฟ้าและไอน้ำ (Power plant efficiency) ของโรงที่ 1 มีค่าสูงที่สุด เนื่องจากสามารถเพิ่มกำลังการผลิตพลังงานไฟฟ้าของกังหันก๊าซ GT11 และกังหันก๊าซ GT12 ได้สูงที่สุดเท่ากับ 81.35 และ 81.59 เปอร์เซ็นต์ ตามลำดับ (ดังแสดงในตารางที่ 4) จากการเชื่อมต่อไฟฟ้าและไอน้ำเข้าหากันระหว่างโรงไฟฟ้าแฟดแบบโคลเจเนอเรชัน จึงส่งผลให้การเดินเครื่องรูปแบบที่ 4 มีประสิทธิภาพโรงไฟฟ้าในการผลิตพลังงานไฟฟ้าและไอน้ำสูงสุดเฉลี่ยเท่ากับ 50.48 เปอร์เซ็นต์ ซึ่งดีกว่าการดำเนินงานด้วยรูปแบบปกติทั่วไป (รูปแบบที่ 1 ซึ่งจะมีค่า 47.47 เปอร์เซ็นต์)

เมื่อพิจารณาประสิทธิภาพโรงไฟฟ้าในการผลิตพลังงานไฟฟ้าและไอน้ำของการเดินเครื่องรูปแบบที่ 4 เปรียบเทียบกับการเดินเครื่องรูปแบบที่ 2 ก็พบว่าประสิทธิภาพโรงไฟฟ้าในการผลิตพลังงานไฟฟ้าและไอน้ำเฉลี่ยของการเดินเครื่องรูปแบบที่ 4 (50.48 เปอร์เซ็นต์) ดีกว่าการเดินเครื่องรูปแบบที่ 2 (48.37 เปอร์เซ็นต์) เนื่องจากกำลังการผลิตพลังงานไฟฟ้าของกังหันก๊าซ GT11 และกังหันก๊าซ GT12 ของการเดินเครื่องรูปแบบที่ 4 (81.35 และ 81.59 เปอร์เซ็นต์) สูงกว่าการเดินเครื่องรูปแบบที่ 2 (65.81 และ 65.82 เปอร์เซ็นต์) ดังแสดงในตารางที่ 4 ถึงแม้ว่าการเดินเครื่องรูปแบบที่ 2 จะเชื่อมต่อไอน้ำระหว่างโรงไฟฟ้าแฟดแบบโคลเจเนอเรชันแล้วก็ตาม แต่ยังคงไม่สามารถเพิ่มกำลังการผลิตพลังงานไฟฟ้าของกังหันก๊าซ GT11 และกังหันก๊าซ GT12 ได้เทียบเท่าการเดินเครื่องรูปแบบที่ 4 จึงส่งผลให้ประสิทธิภาพโรงไฟฟ้าต่างกันค่อนข้างสูง



ภาพที่ 4 ผลเปรียบเทียบประสิทธิภาพโรงไฟฟ้า (Power plant efficiency, %) ในการผลิตพลังงานไฟฟ้าและไอน้ำของการเดินเครื่องโรงไฟฟ้าแฟดแบบโคลเจเนอเรชัน โรงที่ 1

ตารางที่ 4 ผลเปรียบเทียบประสิทธิภาพโรงไฟฟ้าและกำลังการผลิตพลังงานไฟฟ้าของเครื่องจักรหลัก โรงที่ 1

รูปแบบการเดินเครื่อง	ประสิทธิภาพโรงไฟฟ้า (%)	กังหันก๊าซ GT11 (%)	กังหันก๊าซ GT12 (%)	กังหันไอน้ำ ST10 (%)
รูปแบบที่ 1	47.47	60.13	59.95	75.41
รูปแบบที่ 2	48.37	65.81	65.82	72.86
รูปแบบที่ 3	48.80	76.84	76.75	84.57
รูปแบบที่ 4	50.48	81.35	81.59	81.19

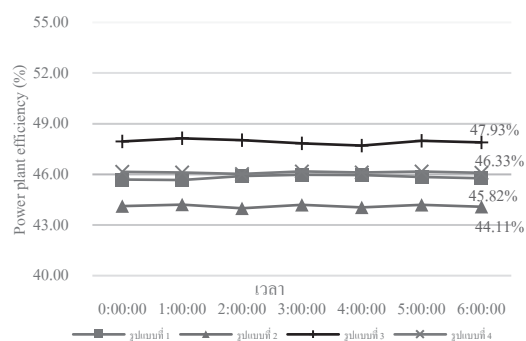
เมื่อพิจารณาประสิทธิภาพโรงไฟฟ้าในการผลิตพลังงานไฟฟ้าและไอน้ำของการเดินเครื่องรูปแบบที่ 4 เปรียบเทียบกับการเดินเครื่องรูปแบบที่ 3 ก็พบว่าประสิทธิภาพโรงไฟฟ้าในการผลิตพลังงานไฟฟ้าและไอน้ำเฉลี่ยของการเดินเครื่องรูปแบบที่ 4 (50.48 เปอร์เซ็นต์) ดีกว่าการเดินเครื่องรูปแบบที่ 3 (48.80 เปอร์เซ็นต์) เนื่องจากกำลังการผลิตพลังงานไฟฟ้าของกังหันก๊าซ GT11 และกังหันก๊าซ GT12 ของการเดินเครื่องรูปแบบที่ 4 (81.35 และ 81.59 เปอร์เซ็นต์) สูงกว่าการเดินเครื่องรูปแบบที่ 3 (76.84 และ 76.75 เปอร์เซ็นต์) เนื่องจากเมื่อเชื่อมต่อไฟฟ้าและไอน้ำเข้าหากันจะส่งผลให้กังหันก๊าซเพิ่มกำลังการผลิตพลังงานไฟฟ้าสูงขึ้นเป็นอย่างมาก ซึ่งมากกว่าการเชื่อมต่อไอน้ำเพียงอย่างเดียว

และเมื่อพิจารณาการเดินเครื่องรูปแบบที่ 3 เปรียบเทียบกับการเดินเครื่องรูปแบบที่ 2 ก็พบว่าประสิทธิภาพโรงไฟฟ้าในการผลิตพลังงานไฟฟ้าและไอน้ำเฉลี่ยของการเดินเครื่องรูปแบบที่ 3 (48.80 เปอร์เซ็นต์) ดีกว่าการเดินเครื่องรูปแบบที่ 2 (48.37 เปอร์เซ็นต์) เนื่องจากการเดินเครื่องรูปแบบที่ 3 เชื่อมต่อไฟฟ้าและไอน้ำเข้าหากันจะส่งผลให้กังหันก๊าซเพิ่มกำลังการผลิตพลังงานไฟฟ้าแบบโคลเจเนอเรชันแล้วนั้น ซึ่งสามารถเพิ่มกำลังการผลิตพลังงานไฟฟ้าสูงขึ้นเป็นอย่างมาก ซึ่งสามารถเพิ่มกำลัง

## การผลิตพลังงานไฟฟ้าให้กับหันก้าชได้สูงกว่าการเชื่อมต่อไอน้ำระหว่างโรงไฟฟ้าแฟดแบบโโคเจเนอเรชัน

### 3.2 โรงไฟฟ้าแฟดแบบโโคเจเนอเรชัน โรงที่ 2

นอกจากนี้จากการเก็บรวบรวมข้อมูลตัวแปรต่างๆ ของโรงไฟฟ้าแฟด โรงที่ 2 เมื่อนำมาคำนวณหาประสิทธิภาพโรงไฟฟ้าเป็นรายชั่วโมงในช่วงเวลาอพทีคนี้ สามารถแสดงผลได้ดังภาพที่ 5 โดยผลการศึกษาพบว่าการเดินเครื่องรูปแบบที่ 3 ที่เดินเครื่องด้วยกังหันก้าช 3 เครื่อง และกังหันไอน้ำ 2 เครื่อง โดยที่มีเชื่อมต่อไฟฟาระหว่างโรงไฟฟ้าแฟดแบบโโคเจเนอเรชัน สามารถเพิ่มกำลังการผลิตพลังงานไฟฟ้าของกังหันก้าช GT22 ได้สูงสุดเท่ากับ 89.35 เปอร์เซ็นต์ (ดังแสดงในตารางที่ 5) จึงส่งผลให้ประสิทธิภาพโรงไฟฟ้าในการผลิตพลังงานไฟฟ้าและไอน้ำ (Power plant efficiency) ของโรงที่ 2 นั้นสูงถึง 47.93 เปอร์เซ็นต์ โดยการเดินเครื่องรูปแบบที่ 3 นั้น สามารถผลิตพลังงานไฟฟ้าได้เพียงพอต่อความต้องการพลังงานไฟฟ้าของไฟฟ้าฝ่ายผลิตแห่งประเทศไทย (กฟผ.) ขนาดคงที่ไม่เกิน 59 เมกะวัตต์



ภาพที่ 5 ผลเปรียบเทียบประสิทธิภาพโรงไฟฟ้า (Power plant efficiency, %) ในการผลิตพลังงานไฟฟ้าและไอน้ำของ การเดินเครื่องโรงไฟฟ้าแฟดแบบโโคเจเนอเรชัน โรงที่ 2

เมื่อพิจารณาประสิทธิภาพโรงไฟฟ้าในการผลิตพลังงานไฟฟ้าและไอน้ำของการเดินเครื่องรูปแบบที่ 3 เปรียบเทียบกับการเดินเครื่องรูปแบบที่ 1 พบว่าประสิทธิภาพโรงไฟฟ้าในการผลิตพลังงานไฟฟ้าและไอน้ำของ การเดินเครื่องรูปแบบที่ 3 (47.93 เปอร์เซ็นต์) สูงกว่าการเดินเครื่องรูปแบบที่ 1 (45.82 เปอร์เซ็นต์) ดังแสดงในตารางที่ 5

ตารางที่ 5 ผลเปรียบเทียบประสิทธิภาพโรงไฟฟ้าและกำลัง การผลิตพลังงานไฟฟ้าของเครื่องจักรหลัก โรงที่ 2

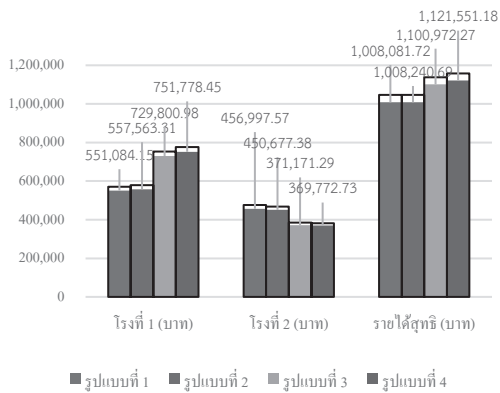
รูปแบบการเดินเครื่อง	ประสิทธิภาพโรงไฟฟ้า (%)	กังหันก้าช GT21 (%)	กังหันก้าช GT22 (%)	กังหันไอน้ำ ST10 (%)
รูปแบบที่ 1	45.82	51.42	51.31	75.20
รูปแบบที่ 2	44.11	47.53	47.46	76.40
รูปแบบที่ 3	47.93	00.00	89.35	42.65
รูปแบบที่ 4	46.33	00.00	81.19	41.34

เนื่องจากการเดินเครื่องรูปแบบที่ 1 นั้นเป็นการเดินเครื่องรูปแบบทั่วไปที่ไม่มีการเชื่อมต่อไฟฟ้าและไอน้ำระหว่างโรงไฟฟ้าแฟดแบบโโคเจเนอเรชัน ส่งผลให้กังหันก้าช GT21 และกังหันก้าช GT22 นั้น เดินเครื่องแบบพาร์ทโลడ (Part load operation) ที่กำลังการผลิตพลังงานไฟฟ้าเพียง 51.42 และ 51.31 เปอร์เซ็นต์ของกำลังการผลิตพลังงานไฟฟ้าสูงสุด ซึ่งเป็นสาเหตุที่ทำให้ประสิทธิภาพโรงไฟฟ้าในการผลิตพลังงานไฟฟ้าและไอน้ำมีค่าต่ำ

เมื่อพิจารณาประสิทธิภาพโรงไฟฟ้าในการผลิตพลังงานไฟฟ้าและไอน้ำของการเดินเครื่องรูปแบบที่ 3 เปรียบเทียบกับการเดินเครื่องรูปแบบที่ 2 ก็พบว่าประสิทธิภาพโรงไฟฟ้าในการผลิตพลังงานไฟฟ้าและไอน้ำของการเดินเครื่องรูปแบบที่ 3 (47.93 เปอร์เซ็นต์) สูงกว่าการเดินเครื่องรูปแบบที่ 2 (44.11 เปอร์เซ็นต์) เมื่อจากการเดินเครื่องรูปแบบที่ 2 นั้นมีการเชื่อมต่อไอน้ำระหว่างโรงไฟฟ้าแฟดแบบโโคเจเนอเรชัน โดยไฟโรงที่ 1 จ่ายไอน้ำให้โรงงานอุตสาหกรรม (IU steam) ทดแทนโรงที่ 2 จึงส่งผลให้กังหันก้าช GT21 และกังหันก้าช GT22 ต้องปรับกำลังการผลิตพลังงานไฟฟ้าลดลง โดยเดินเครื่องแบบพาร์ทโลడซึ่งมีกำลังการผลิตพลังงานไฟฟ้าเพียง 47.53 และ 47.46 เปอร์เซ็นต์ของกำลังการผลิตพลังงานไฟฟ้าสูงสุด เนื่องจากกำลังการผลิตพลังงานไฟฟ้าของกังหันไอน้ำ ST20 สูงขึ้น เพื่อความคุ้มพลังงานไฟฟ้าที่ส่งให้การไฟฟ้าฝ่ายผลิตแห่งประเทศไทย (กฟผ.) คงที่ไม่เกิน 59 เมกะวัตต์ จึงส่งผลให้ประสิทธิภาพโรงไฟฟ้าในการผลิตพลังงานไฟฟ้าและไอน้ำต่ำลงเป็นอย่างมาก

เมื่อพิจารณาประสิทธิภาพโรงไฟฟ้าในการผลิตพลังงานไฟฟ้าและไอน้ำของการเดินเครื่องรูปแบบที่ 3 เปรียบเทียบกับการเดินเครื่องรูปแบบที่ 4 ก็พบว่าประสิทธิภาพโรงไฟฟ้าในการผลิตพลังงานไฟฟ้าและไอน้ำเฉลี่ยของการเดินเครื่องรูปแบบที่ 3 สูงกว่าการเดินเครื่องรูปแบบที่ 4 เนื่องจากการเดินเครื่องรูปแบบที่ 4 นั้น มีการเชื่อมต่อไฟฟ้าและไอน้ำระหว่างโรงไฟฟ้าแฟดแบบโโคเจเนอเรชัน โดยไฟโรงที่ 1 จ่ายพลังงานไฟฟ้า (IU electricity) และไอน้ำ (IU steam) ให้โรงงานอุตสาหกรรม ทดแทนโรงที่ 2 และหยุดการเดินเครื่องกังหันก้าช GT21 ลง เช่นเดียวกับการเดินเครื่อง

รูปแบบที่ 3 จึงส่งผลให้กังหันก๊าซ GT22 เดินเครื่องแบบพาร์ท荷ลด มีกำลังการผลิตพลังงานไฟฟ้าสูงถึง 81.19 เปอร์เซ็นต์ ซึ่ง กำลังการผลิตพลังงานไฟฟ้าน้อยกว่ากังหันก๊าซ GT22 ของการเดินเครื่องรูปแบบที่ 3 เพียงเล็กน้อย (89.35 เปอร์เซ็นต์) จึงส่งผลให้ประสิทธิภาพโรงไฟฟ้าในการผลิตพลังงานไฟฟ้าและไอน้ำ ของการเดินเครื่องรูปแบบที่ 3 (47.93 เปอร์เซ็นต์) สูงกว่าการเดินเครื่องรูปแบบที่ 4 (46.33 เปอร์เซ็นต์) นอกจากนี้เมื่อพิจารณารายได้เฉลี่ยรวมของโรงไฟฟ้าแฟดแบบโภเกเนอเรชัน ดังแสดงในภาพที่ 6 และตารางที่ 6 จะพบว่า การเดินเครื่องด้วยรูปแบบที่ 4 จะให้รายได้สุทธิเฉลี่ยต่อวันของโรงไฟฟ้าแฟด สูงที่สุดเท่ากับ 1,121,551.18 ( $\pm 36,338.73$ ) บาท



ภาพที่ 6 ผลการประเมินรายได้สุทธิต่อวันของโรงไฟฟ้าแฟดแบบโภเกเนอเรชัน

ตารางที่ 6 ผลการประเมินรายได้สุทธิต่อวันของโรงไฟฟ้าแฟดแบบโภเกเนอเรชัน

รูปแบบการเดินเครื่อง	โรงที่ 1 (บาท)	โรงที่ 2 (บาท)	รายได้สุทธิโรงไฟฟ้าแฟด (บาท)
รูปแบบที่ 1	551,084.15	456,997.57	1,008,081.73
รูปแบบที่ 2	557,563.31	450,677.38	1,008,240.69
รูปแบบที่ 3	729,800.98	371,171.29	1,100,972.27
รูปแบบที่ 4	751,778.45	369,772.73	1,121,551.18

สำหรับการเดินเครื่องด้วยรูปแบบที่ 3 จะให้รายได้สุทธิเฉลี่ยต่อวันเท่ากับ 1,100,972.27 ( $\pm 37,085.93$ ) บาท โดยเมื่อราคากำกังหันก๊าซธรรมชาติเปลี่ยนแปลงตามค่าเบี่ยงเบนมาตรฐาน (Standard Deviation, S.D.) แล้วก็ตาม ก็ยังส่งผลให้รายได้เฉลี่ยต่อวันของการเดินเครื่องรูปแบบที่ 3 น้อยกว่าการเดินเครื่องรูปแบบที่ 4 เท่ากับ 20,578.91 บาท การเดินเครื่องด้วยรูปแบบที่ 2 จะให้รายได้สุทธิเฉลี่ยต่อวันเท่ากับ 1,008,240.69 ( $\pm 38,697.11$ ) บาท โดยเมื่อราคากำกังหันก๊าซธรรมชาติเปลี่ยนแปลงตามค่าเบี่ยงเบนมาตรฐาน (S.D.) แล้ว

ก็ยังส่งผลให้รายได้สุทธิเฉลี่ยต่อวันของการเดินเครื่องรูปแบบที่ 2 น้อยกว่าการเดินเครื่องรูปแบบที่ 4 เท่ากับ 113,310.49 บาท และการเดินเครื่องด้วยการเดินเครื่องรูปแบบทั่วไป (รูปแบบที่ 1) จะให้รายได้สุทธิเฉลี่ยต่อวันเท่ากับ 1,008,081.73 ( $\pm 38,231.70$ ) บาท โดยเมื่อราคากำกังหันก๊าซธรรมชาติเปลี่ยนแปลงตามค่าเบี่ยงเบนมาตรฐาน (S.D.) แล้ว ก็ยังส่งผลให้รายได้เฉลี่ยต่อวันของการเดินเครื่องรูปแบบที่ 1 น้อยกว่าการเดินเครื่องรูปแบบที่ 4 เท่ากับ 113,469.45 บาท ดังนั้นสามารถสรุปผลการศึกษารูปแบบการเดินเครื่องของโรงไฟฟ้าที่เหมาะสมในช่วงเวลาอوفพีคได้ว่า การเดินเครื่องรูปแบบที่ 4 เหมาะสมที่จะนำมาใช้เป็นรูปแบบการเดินเครื่องหลักในช่วงเวลาอฟพีคของโรงไฟฟ้าแฟดแบบโภเกเนอเรชันนี้เนื่องจากการเดินเครื่องรูปแบบที่ 4 สามารถทำรายได้เฉลี่ยต่อวันสูงที่สุด ซึ่งเป็นผลมาจากการเดินเครื่องที่มีประสิทธิภาพโรงไฟฟ้าที่สูง จึงทำให้โรงไฟฟ้าแฟดแบบโภเกเนอเรชันใช้พลังงานความร้อนจากเชื้อเพลิงได้อย่างคุ้มค่ามากที่สุด

#### 4. สรุป

งานวิจัยนี้ดำเนินการปรับปรุงรูปแบบการเดินเครื่องโรงไฟฟ้าแฟดแบบโภเกเนอเรชันในช่วงเวลาอฟพีค เพื่อศึกษาค่าประสิทธิภาพโรงไฟฟ้าในการผลิตพลังงานไฟฟ้าและไอน้ำ (Power plant efficiency) ของโรงไฟฟ้าแฟดแบบโภเกเนอเรชัน ผลการศึกษาพบว่า รูปแบบการเดินเครื่องของโรงไฟฟ้าแฟด ส่งผลโดยตรงต่อค่าประสิทธิภาพโรงไฟฟ้าในการผลิตพลังงานไฟฟ้าและไอน้ำที่ ซึ่ง จากผลการศึกษาวิจัยสามารถสรุปได้ว่า การเดินเครื่องโรงไฟฟ้าแฟดแบบโภเกเนอเรชันในช่วงเวลาอฟพีคด้วยรูปแบบที่ 4 โดยเดินเครื่องด้วยกังหันก๊าซ 3 เครื่อง และกังหันไอน้ำ 2 เครื่อง ที่มีการเชื่อมต่อไฟฟ้าและไอน้ำระหว่างโรงไฟฟ้าแฟด (โรงที่ 1 และโรงที่ 2) นั้นเหมาะสมที่จะนำมาดำเนินการเป็นการเดินเครื่องรูปแบบหลักของโรงไฟฟ้าแฟดแบบโภเกเนอเรชันในช่วงเวลาอฟพีค ทั้งในด้านประสิทธิภาพโรงไฟฟ้าที่มีค่าสูง และรายได้สุทธิเฉลี่ยต่อวันที่ได้มากที่สุดของโรงไฟฟ้าแฟดแบบโภเกเนอเรชันนี้

อย่างไรก็ตามในกรณีที่ในโรงไฟฟ้าแฟดแบบโภเกเนอเรชันนั้นมีอุปกรณ์อื่นๆ เพิ่มเติม อาทิ เช่น มีการติดตั้งเครื่องทำความเย็นเพื่อลดอุณหภูมิขาเข้าเครื่องอัดอากาศของเครื่องยนต์กังหันก๊าซ หรือการติดตั้งอุปกรณ์แลกเปลี่ยนความร้อนเพื่อเพิ่มอุณหภูมิเข้าเพลิงก่อนการเผาไหม้ในห้องเผาไหม้ของเครื่องยนต์กังหันก๊าซ ก็จะส่งผลให้ประสิทธิภาพเครื่องยนต์กังหันก๊าซมีค่าสูงขึ้นได้ ซึ่งเมื่อมีการเพิ่มอุปกรณ์เหล่านี้เข้าไปในระบบผลิตพลังงานไฟฟ้าและไอน้ำของโรงไฟฟ้าแฟดแล้ว ผลกระทบของรูปแบบการเดินเครื่องที่เหมาะสมนั้นก็อาจจะมีการเปลี่ยนแปลง และอาจจะมีรูปแบบการเดินเครื่องในรูปแบบอื่นๆ เพิ่มเติมอีกด้วย

## 5. กิตติกรรมประกาศ

งานวิจัยนี้ได้รับทุนสนับสนุนจากภาควิชาวิศวกรรมเคมี คณะวิศวกรรมศาสตร์ มหาวิทยาลัยธรรมศาสตร์ และขอขอบคุณ บริษัทกัลฟ์ ทีโอส 1 และทีโอส 2 จำกัด ที่เอื้อเพื่อสถานที่ในการเก็บข้อมูลและการทดลอง

## 6. รายการอ้างอิง

- [1] กระทรวงพลังงาน, ความต้องการใช้พลังไฟฟ้าของประเทศไทย 2556, แหล่งที่มา: <http://www.touchtechdesign.com/eppo>, 9 กันยายน 2560.
- [2] Electricity Generating Authority of Thailand, Power system, Available source: <https://www.egat.co.th>, September 9, 2017.
- [3] Ministry of Energy, Energy Policy and Planning office (EPPO), Available source: <http://www.eppo.go.th>, September 9, 2017.
- [4] สำนักงานนโยบายและแผนพลังงาน, แผนพัฒนากำลังการผลิตไฟฟ้าของประเทศไทย พ.ศ. 2558-2579 (PDP2015) แหล่งที่มา: <http://www.eppo.go.th>, 9 กันยายน 2560
- [5] การไฟฟ้าฝ่ายผลิตแห่งประเทศไทย, สถานการณ์พลังงานไฟฟ้าและการผลิตไฟฟ้าของประเทศไทย, แหล่งที่มา: <http://www.senate.go.th>, 9 กันยายน 2560.
- [6] M. C. Ekwonu, S. Perry and E. A. Oyedoh, 2013, Modelling and Simulation of Gas Engines Using Aspen HYSYS. 6(3): 1-4
- [7] Miroslav Variny, Otto Mierka, 2008, Improvement of part load efficiency of a combined cycle power plant provisioning ancillary services. 86(3): 888-894
- [8] สำนักงานนโยบายและแผนพลังงาน, TOU, แหล่งที่มา: <http://www.eppo.go.th>, 15 กันยายน 2560.
- [9] Cem Tahsin Yucer, 2016, Thermodynamic analysis of the part load performance for small scale gas turbine jet engine by using exergy analysis method. 1(1): 251-259
- [10] สมชาติ ชันทศิริวรรณ, 2558, วิศวกรรมโรงไฟฟ้า (Power plant engineering), คณะวิศวกรรมศาสตร์ มหาวิทยาลัยธรรมศาสตร์, ปทุมธานี, 293